

РАСЧЕТ ТОКОВ В ЭЛЕМЕНТАХ СХЕМЫ УСКОРЕННОГО НАКОПЛЕНИЯ ЭНЕРГИИ В ИНДУКТИВНОЙ НАГРУЗКЕ ОТ УДАРНОГО ГЕНЕРАТОРА

А. В. ЛООС, Г. А. СИПАЙЛОВ, К. А. ХОРЬКОВ

(Представлена научным семинаром кафедр электрических машин и общей
электротехники).

Отличительной особенностью исследуемой схемы увеличения величины и скорости передачи энергии от ударного генератора в индуктивную нагрузку является наличие вспомогательной конденсаторной батареи, включаемой параллельно с нагрузкой, и специального коммутирующего аппарата, закорачивающего нагрузку в момент прохождения тока нагрузки через максимум.

Поскольку физическая сущность увеличения электромагнитной энергии в описываемой схеме и работа схемы в процессе ступенчатого накопления энергии в индуктивной нагрузке рассмотрены ранее [1, 2, 3], настоящая статья имеет своей целью, не останавливаясь на физической сущности явлений, дать расчетные формулы для определения токов и напряжений в различных элементах схемы на всех этапах ее работы.

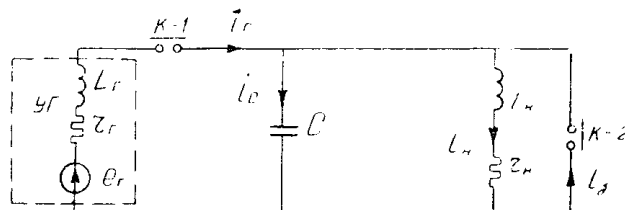


Рис. 1. Схема ускоренного накопления энергии
в индуктивной нагрузке.

Описываемая схема представлена на рис. 1, где L_r — эквивалентная сверхпереходная индуктивность генератора, L_n — индуктивность нагрузки, r_r, r_n — активные сопротивления генератора и нагрузки, C — вспомогательная конденсаторная батарея, $K-1$ и $K-2$ — быстродействующие бездуговые ионно-механические контактные аппараты.

Процесс накопления энергии в нагрузке идет следующим образом. В момент прохождения э.д.с. генератора через нулевое значение замыкается контактный аппарат $K-1$, при разомкнутом $K-2$. В течение полуволны э.д.с., которую назовем положительной, генератор передает нагрузке некоторое количество электромагнитной энергии. Ток нагрузки

растет и в конце положительного полупериода э.д.с. он достигает максимума. В этот момент, при смене полярности э.д.с., происходит замыкание К-2. Нагрузка оказывается замкнутой накоротко, и энергия, запасенная в ней, сохраняется (за вычетом потерь) до следующего цикла накопления. При этом ток генератора резко падает, так как генератор оказывается замкнутым накоротко при отрицательной э.д.с. В момент прохождения тока генератора через нуль размыкается аппарат К-1, и цепь остается разомкнутой на всю оставшуюся часть отрицательного полупериода э.д.с.

Следующий цикл накопления начинается замыканием К-1 при прохождении э.д.с. генератора через нулевое значение на положительную полуволну, причем контактный аппарат К-2 остается замкнутым. Генератор работает в режиме внезапного короткого замыкания и ток генератора резко возрастает. В момент, когда ток генератора достигает значения тока нагрузки, размыкается аппарат К-2. Следует отметить, что в этот момент времени ток, протекающий через К-2, равный разности токов генератора и нагрузки, равен нулю. С момента размыкания К-2 в течение оставшегося положительного полупериода э.д.с. происходит возрастание тока в нагрузке, т. е. происходит накопление энергии. В момент, когда э.д.с. генератора становится равной нулю, ток нагрузки достигает очередного максимума и контактный аппарат К-2 закорачивает нагрузку. Начинается этап сохранения накопленной энергии. Дальнейший процесс накопления идет аналогично.

Характер изменения токов генератора, нагрузки и напряжения на емкости в процессе накопления энергии ясен из рис. 2. Для удобства

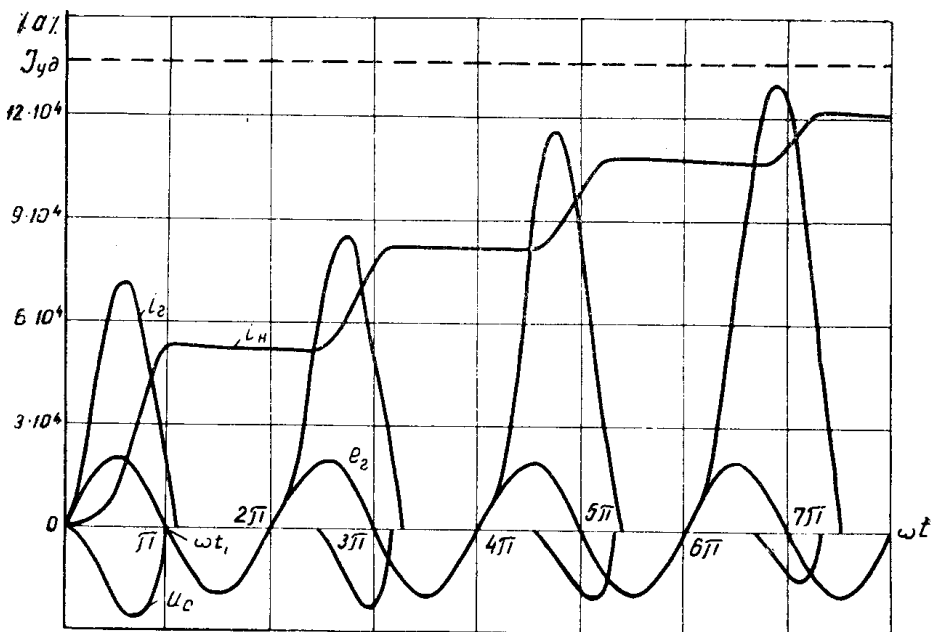


Рис. 2. Характер изменения напряжения и токов в элементах схемы.

математического описания процесс накопления энергии в нагрузке целесообразно разбить на отдельные циклы, длительностью равными периоду э.д.с., каждый из которых состоит из двух этапов: этапа накопления энергии и этапа сохранения накопленной энергии.

Этап накопления энергии

В течение этого этапа состояние схемы таково: контактный аппарат К-1 замкнут, а аппарат К-2 разомкнут. В момент замыкания К-1 конденсаторная батарея не заряжена. Работа схемы на этапе накопления энергии любого цикла описывается системой уравнений:

$$\begin{aligned} e_r(p) &= i_r(p)r_r + pL_r i_r(p) + pL_r I_r(0) + \frac{1}{pc} [i_r(p) - i_h(p)], \\ 0 &= i_h(p)r_h + pL_h i_h(p) + pL_h I_h(0) + \frac{1}{pc} [i_h(p) - i_r(p)]. \end{aligned} \quad (1)$$

Решая систему (1) относительно токов генератора и нагрузки, получаем в операторной форме следующие выражения:

$$i_r(p) = \frac{-e_r(p)(p^2L_h c + 1) + pL_r I_r(0) + pL_h I_h(0)}{p^2c(pL_r L_h - L_h r_r + L_r r_h) - p(L_h + L_r) - (r_h + r_r)}, \quad (2)$$

$$i_h(p) = \frac{-e_r(p) + pL_r I_r(0) + pL_h I_h(0)(p^2L_r c + pcr_r + 1)}{p^2c(pL_r L_h - L_h r_r + L_r r_h) - p(L_h + L_r) - (r_h + r_r)}. \quad (3)$$

После перехода к временной форме записи выражения для токов получаются настолько громоздкими, что пользоваться ими практически невозможно. Поэтому с целью упрощения выражений пренебрегаем величинами активных сопротивлений генератора и нагрузки. Подобное допущение является вполне оправданным, так как активные сопротивления контура значительно меньше индуктивных. С учетом принятых допущений получаем:

$$\begin{aligned} i_r(t) &= \frac{E_m}{\omega L_r} \left\{ \frac{\omega^2 - \omega_9^2}{\omega^2 - \omega_9^2} \left[\sin \psi \sin \omega t + \frac{\omega}{\omega_9} \cos \psi (1 - \cos \omega t) \right] \right\} + \\ &\quad + \frac{\omega_9^2 - \omega^2}{\omega^2 - \omega_9^2} \left\{ \frac{\omega}{\omega_9} \sin \psi \sin \omega_9 t + \frac{\omega^2}{\omega_9^2} \cos \psi (1 - \cos \omega_9 t) \right\} + I_r(0). \end{aligned} \quad (4)$$

$$\begin{aligned} i_h(t) &= \frac{E_m}{\omega L_h} \left\{ \frac{\omega_r^2}{\omega_9^2 - \omega^2} \left[\sin \psi \sin \omega t + \cos \psi (1 - \cos \omega t) \right] \right\} + \\ &\quad + \frac{\omega_r^2}{\omega^2 - \omega_9^2} \left\{ \frac{\omega}{\omega_9} \sin \psi \sin \omega_9 t + \frac{\omega^2}{\omega_9^2} \cos \psi (1 - \cos \omega_9 t) \right\} + I_h(0). \end{aligned} \quad (5)$$

$$\begin{aligned} U_c(t) &= E_m \frac{\omega_r^2}{\omega_9^2 - \omega^2} \left[\sin \psi (\cos \omega t - \cos \omega_9 t) + \right. \\ &\quad \left. + \cos \psi \left(\sin \omega t - \frac{\omega}{\omega_9} \sin \omega_9 t \right) \right] + \left[I_h(0) L_h \left(\omega - \frac{\omega_r^2}{\omega_9} \right) - \right. \\ &\quad \left. - I_r(0) L_r \frac{\omega_r^2}{\omega_9} \right] \sin \omega_9 t - U_c(0) \cos \omega_9 t, \end{aligned} \quad (6)$$

где ω — угловая частота э.д.с. генератора,

$$\omega_9 = \sqrt{\frac{L_h + L_r}{cL_h L_r}} — эквивалентная частота контура $L_h L_r c$,$$

$$\omega_r = \sqrt{\frac{1}{cL_r}} — собственная частота контура $L_r c$,$$

$$\omega_n = \sqrt{\frac{1}{cL_n}} \text{ -- собственная частота контура } L_n c,$$

E_m — амплитуда э.д.с. генератора.

Для первого цикла начальные условия следующие:

$$U_c(0) = 0, \quad I_r(0) = 0, \quad I_n(0) = 0, \quad \psi = \psi_0 = 0,$$

где ψ_0 — начальный угол включения.

Для всех последующих циклов:

$$U_c(n) = 0, \quad I_r(n) = I_n(n) = I_{\max(n-1)} e^{-\frac{1}{T_n} \left(\frac{\pi+\psi_n}{\omega} \right)}, \quad \psi = \psi_n,$$

где ψ_n — угол от начала положительного полупериода э.д.с. до момента снятия закоротки (размыкания К-2).

Этап сохранения энергии

Этап начинается замыканием аппарата К-2 и оканчивается в момент размыкания этого контактного аппарата. В течение этого этапа ток нагрузки изменяется по экспоненциальному закону

$$i_n(t) = I_{\max(n)} e^{-\frac{t}{T_n}},$$

где $T_n = \frac{L_n}{r_n}$ — постоянная времени затухания тока нагрузки.

Изменение тока генератора в течение этого этапа описывается несколькими уравнениями. Вначале, после замыкания К-2, ток генератора уменьшается по закону

$$i_r(t) = \frac{E_m}{\omega L_r} \left[\cos(\omega t + \psi) - \cos \psi e^{-\frac{t}{T_r}} \right] + I_{\max(n)} e^{-\frac{t}{T_r}}, \quad (8)$$

где $T_r = \frac{L_r}{r_r}$ — постоянная времени генератора.

В момент прохождения тока генератора через нуль размыкается аппарат К-1 и остается разомкнутым до тех пор пока э.д.с. генератора имеет отрицательную полярность. При переходе э.д.с. генератора на положительную полуволну, контактный аппарат К-1 замыкается и генератор оказывается замкнутым накоротко, через К-2.

Изменение тока генератора описывается уравнением (9) вплоть до момента размыкания аппарата К-2, то есть до перехода схемы в режим накопления:

$$i_r(t) = \frac{E_m}{\omega L_r} \left(e^{-\frac{t}{T_r}} - \cos \omega t \right). \quad (9)$$

Максимальный ток, который можно получить в нагрузке, равен амплитуде первой максимальной полуволны тока внезапного короткого замыкания ударного генератора.

По приведенной методике был проведен расчет токов в элементах схемы в процессе накопления энергии в индуктивной нагрузке для следующих данных:

$$E_m = 22 \text{ кВ}, \quad \omega = 314,$$

$$L_r = 0,001 \text{ ГН}, \quad L_n = 2,5 L_r,$$

$$c = 0,00405 \text{ ф}, \quad r_n = 0,05 \text{ ом},$$

При этом $\omega_r = 483$, $\omega_u = 315$, $\omega_s = 587$.

Результаты расчета представлены графически на рис. 2.

Интересно сравнить скорость запасания энергии в нагрузке в спиралевидной схеме со скоростью накопления по схеме без емкости.

В качестве сравниваемой величины бралось число периодов э. д. с. генератора, по прошествии которых в нагрузке устанавливался ток $0,9 I_{уд}$. При расчетах величина емкости определяется из условия получения эквивалентной частоты схемы $\omega_s = \sqrt{3,5 \cdot \omega}$. При этом, как показали расчеты, энергия, на которую должна быть рассчитана конденсаторная батарея (при $L_h \geq 2,5 L_r$), не превосходит 5,5 % от энергии, передаваемой нагрузке. Результаты расчета представлены в табл. 1. Очевидно, что процесс накопления энергии с применением

Таблица 1

$\frac{L_h}{L_r}$	1	2,5	5	7,5	10	Примечание
Число периодов э. д. с.	4	8	14	20	25	по схеме без емкости
	2	4	7	10	12	по схеме с емкостью
$\frac{Q_c}{Q_h} \%$	18	5,5	2,2	1,4	1,1	—

сравнительно небольшой конденсаторной батареи идет в два раза быстрее, что значительно повышает коэффициент полезного действия установки.

ЛИТЕРАТУРА

1. Г. А. Сипайлова, К. А. Хорьков. О совместной работе ударного генератора и конденсаторной батареи на индуктивную нагрузку. Известия ТПИ, т. 132, 1965.
2. А. В. Лоос, Г. А. Сипайлова, К. А. Хорьков. Математическая модель схемы совместной работы генератора ударной мощности и конденсаторной батареи. Известия ТПИ, т. 138, 1965.
3. В. В. Ивашин, А. В. Лоос, Г. А. Сипайлова, К. А. Хорьков. Схема увеличения энергии и скорости ее передачи от ударного генератора в индуктивную нагрузку. Известия ТПИ, т. 139, 1965.